

Příloha 1: Charakteristika ploch

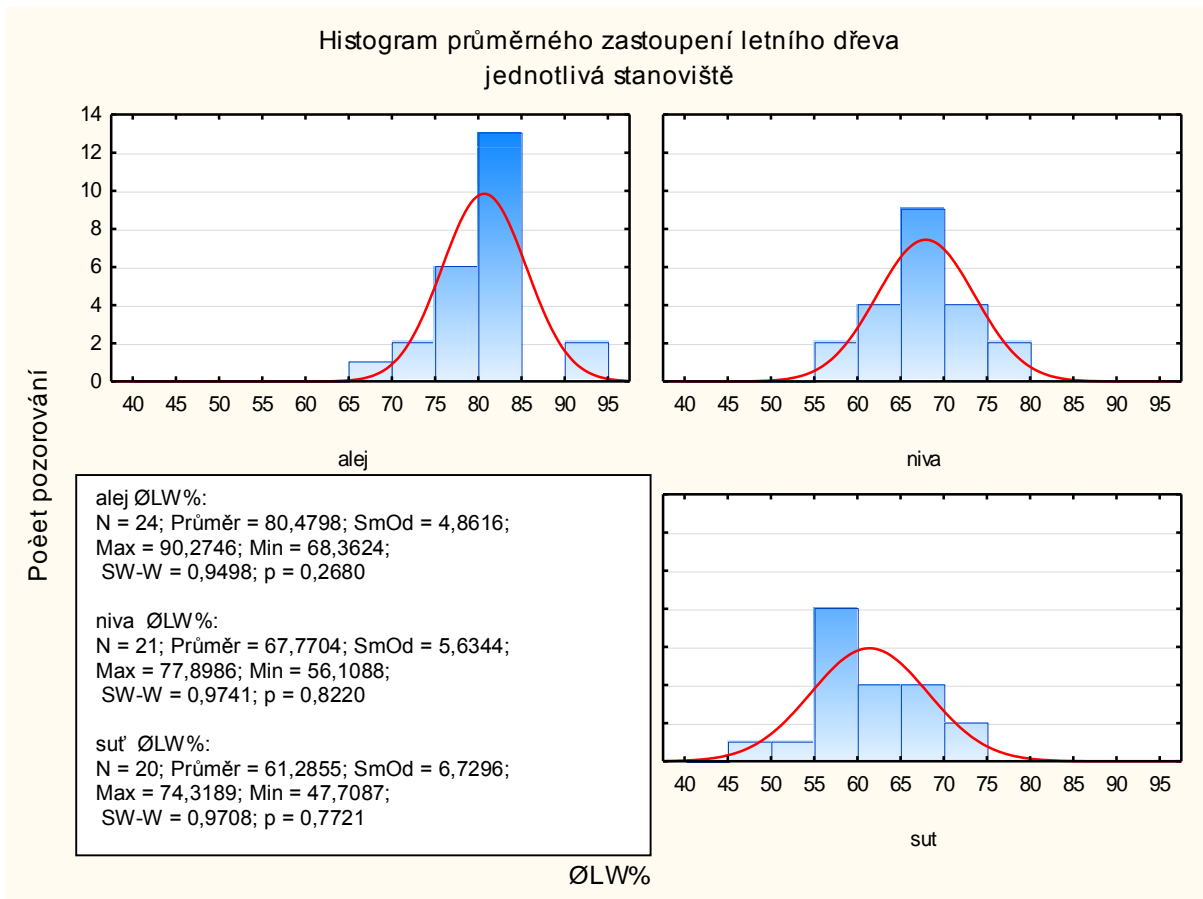
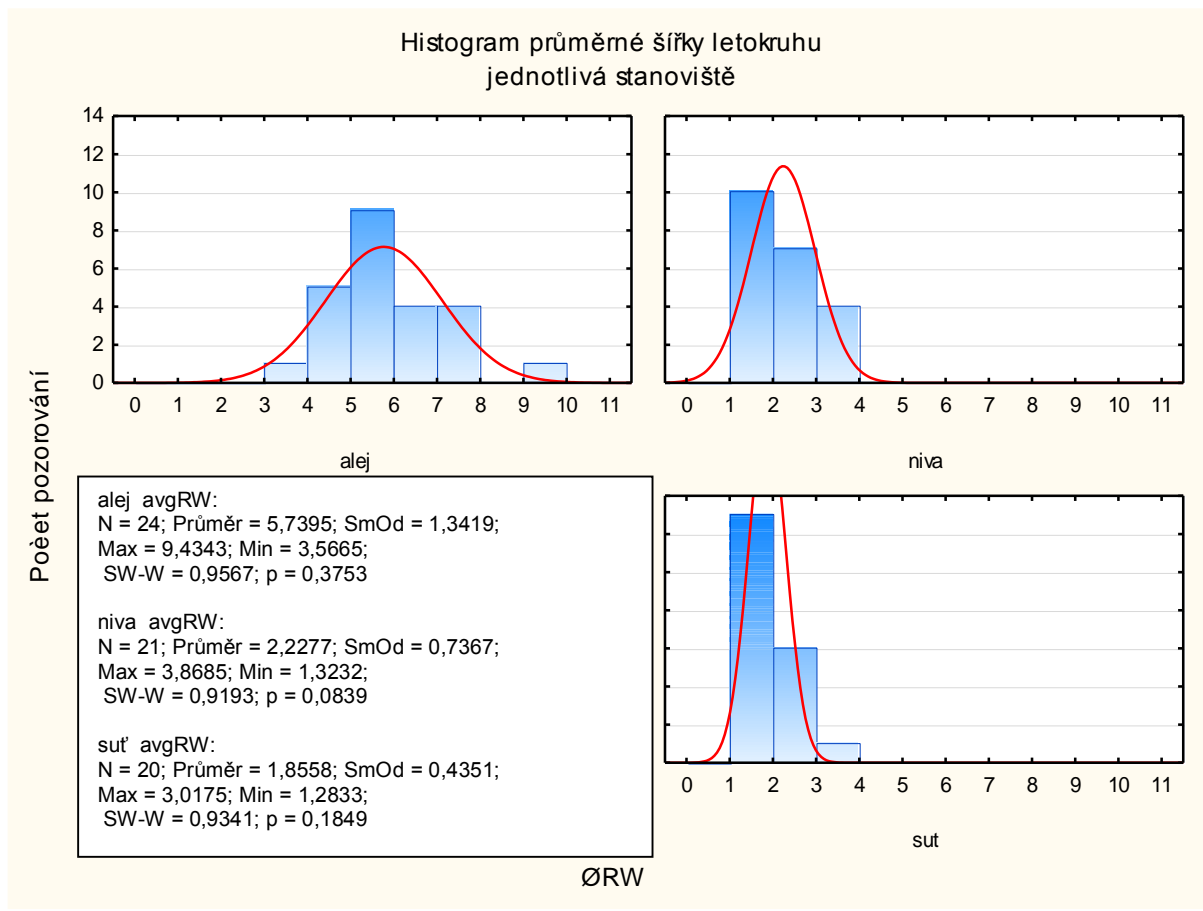
kód	typ	Obec	GPS	azimut svah %	svah °	exp
B	alej	Veliký Brázdím	50.1915161N, 14.5999761E	65	1%	1
L	alej	Lidice/Hřebeč	50.1379964N, 14.1751069E	357	18%	10
S	niva	Tuhomeřice/Statenice	50.1335614N, 14.2962461E	7	0%	0
T	niva	Roztoky-Tiché údolí	50.1517439N, 14.3867925E	226	0%	0
Y	suť	Zálepky	49.9431792N, 14.4105400E	151	71%	35
Z	suť	Zvole	49.9401617N, 14.4076967E	21	41%	22

kód	m n.m.	LVS	CHS	SLT	Substrát: půdní typ maj	Podloží	Klima	Fytogeograf. Oblast
B	205	1	-	1B?	spraše:CEm	Břidlice, droby	T/VT	10a-Jenštejnská tabule
L	330	2	-	2B?	spraše,prachovice:HNm	Ca	MT	7d-Bělohorská tabule
S	285	2	25	2D/2B	spraše:CEm	Břidlice, droby/Ca	MT/T	7d-Bělohorská tabule
T	195	1	25	3L/1B	svahoviny:KAM	Břidlice, droby	T	9-Dolní Povltaví
Y	280	1	1	JZ/1J	prachovice:HNm	Břidlice, droby	T	41-Střední Povltaví
Z	300	1	1	1J	svahoviny:KAM	Břidlice, droby	T	41-Střední Povltaví

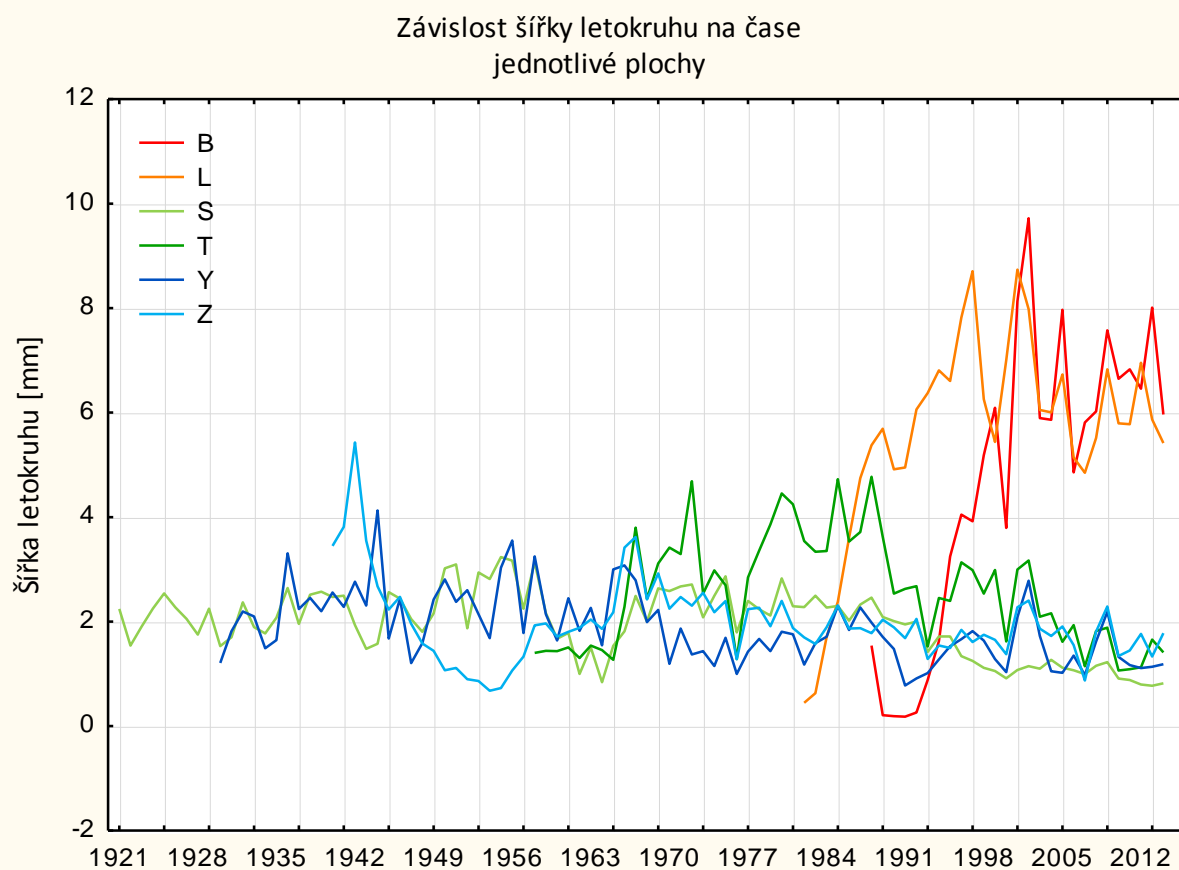
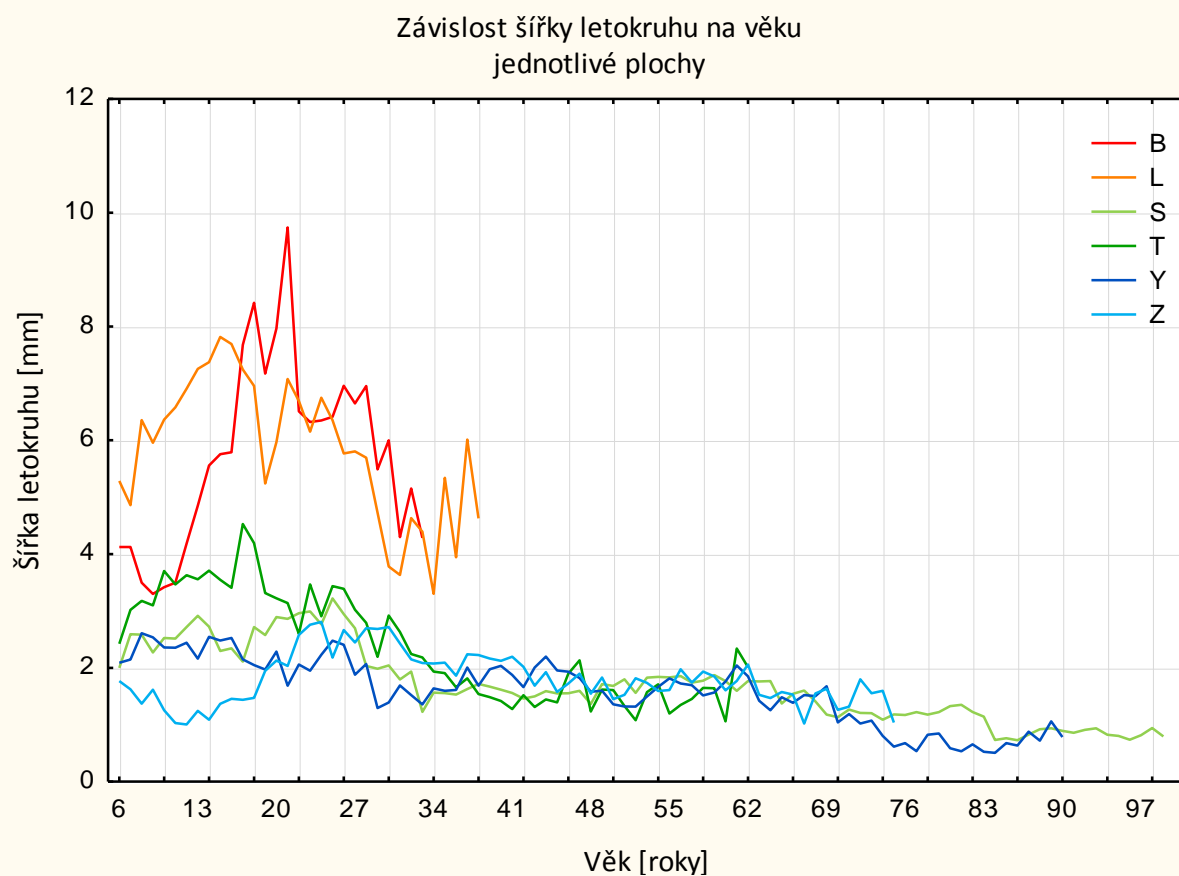
kód Popis

B	Alej uprostřed polí, dbh 16-32, střed 25
L	Alej smíšená s Fr. ornus, Juglans nigra a keři (Prunus,...). Severní strana: spíše pod náspem, remíz a pole. Jižní strana: spíš nad náspem
S	Porostní pás s dominantí JS, u meliorovaného potoka. Hluboká půda. Na jih přechází v porost JV, DBČ, JS, severně podmačená louka. Široká škála obh 0-200.
T	Potoční niva, směs s JVB, OL...
Y	Jižní expozice, směs s JVK, HB, u potoka OL.
Z	Šikmé kmeny ve směru sklonu svahu. Ve svahu pod DB-HB, severní expozice. Směs s OL (40), LP, HB. V protějším svahu AK.

Příloha 2: Popisná statistika proměnných vstupujících do analýzy rozptylu

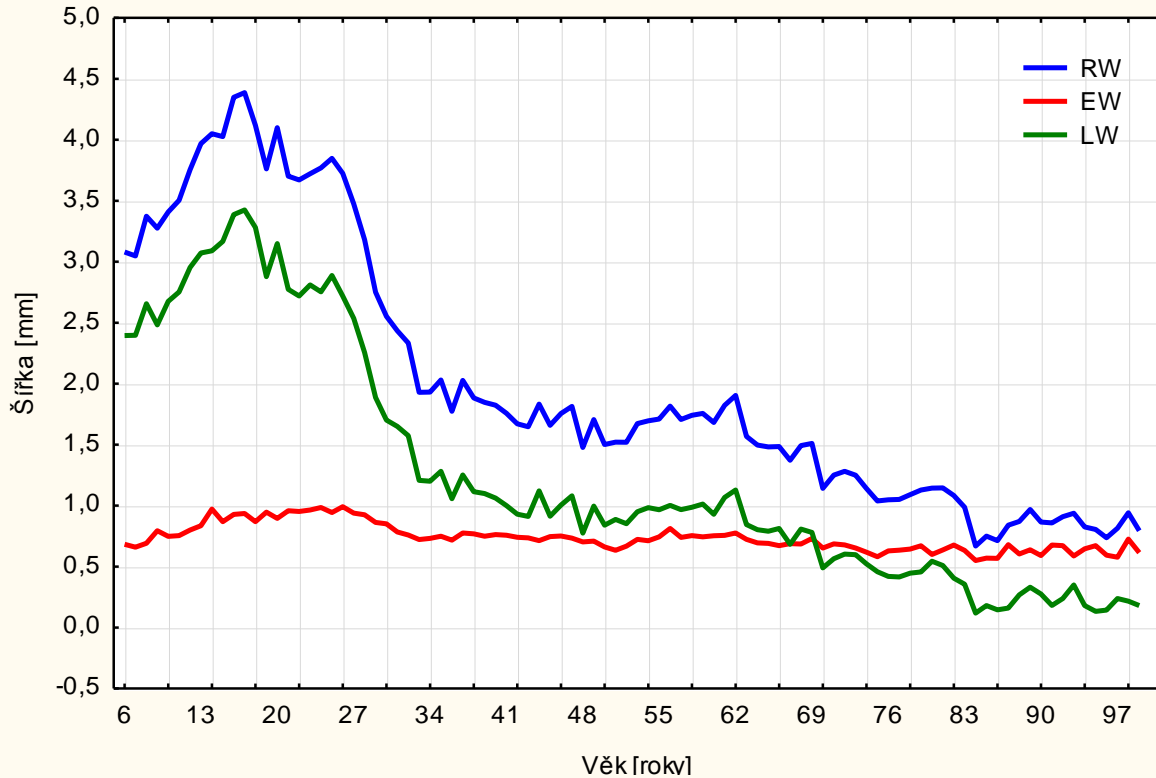


Příloha 3: Průběh šířky letokruhů na jednotlivých plochách  
Srovnání věkových a časových řad

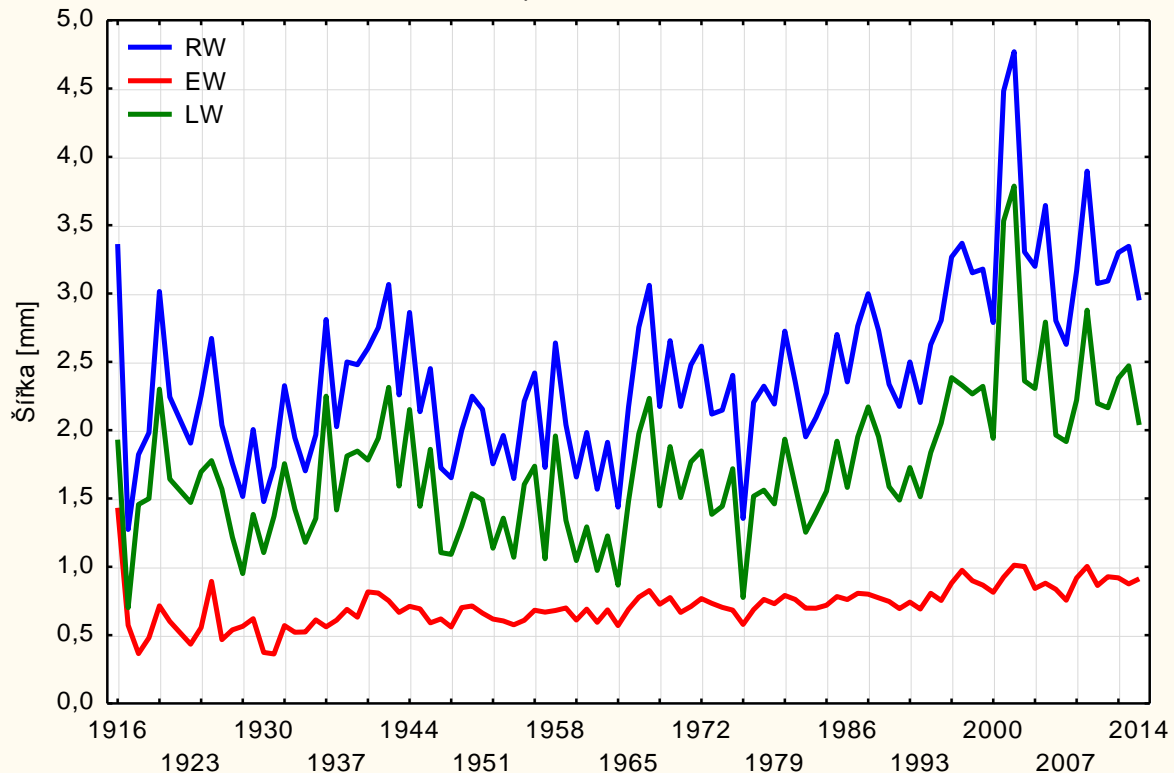


Příloha 4: Souhrnné chronologie šířky letokruhu a jeho složek ze všech ploch  
Srovnání věkových a časových řad

Průběh průměrných šířek letokruhu (RW), jarního (EW) a letního dřev (LW) ze všech ploch  
podle věku

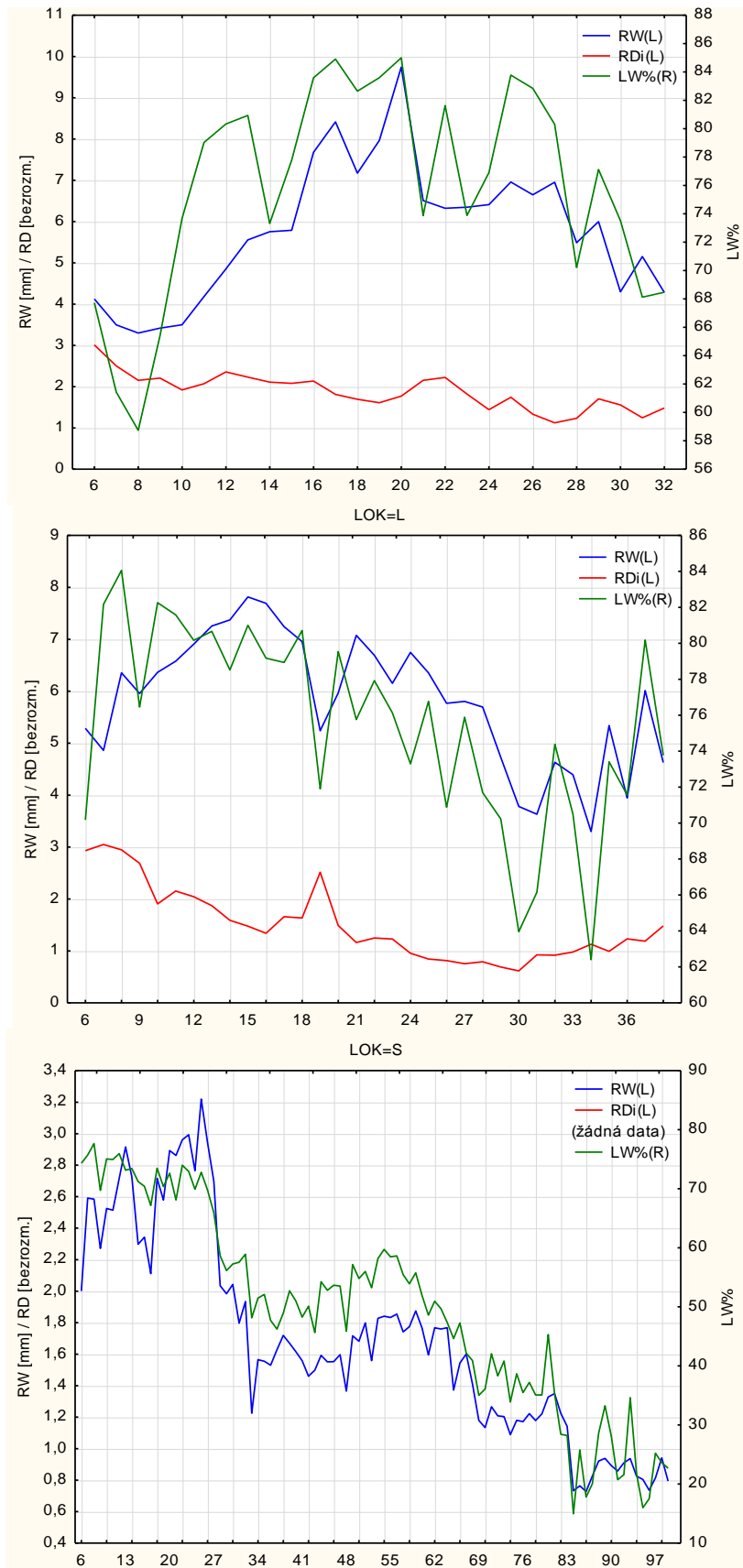


Průběh průměrných šířek letokruhu (RW), jarního (EW) a letního dřev (LW) ze všech ploch  
podle času

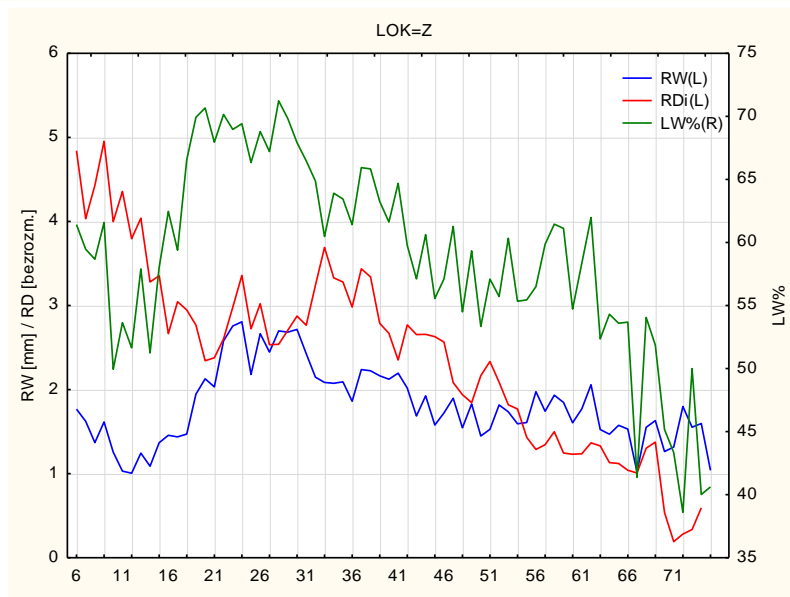
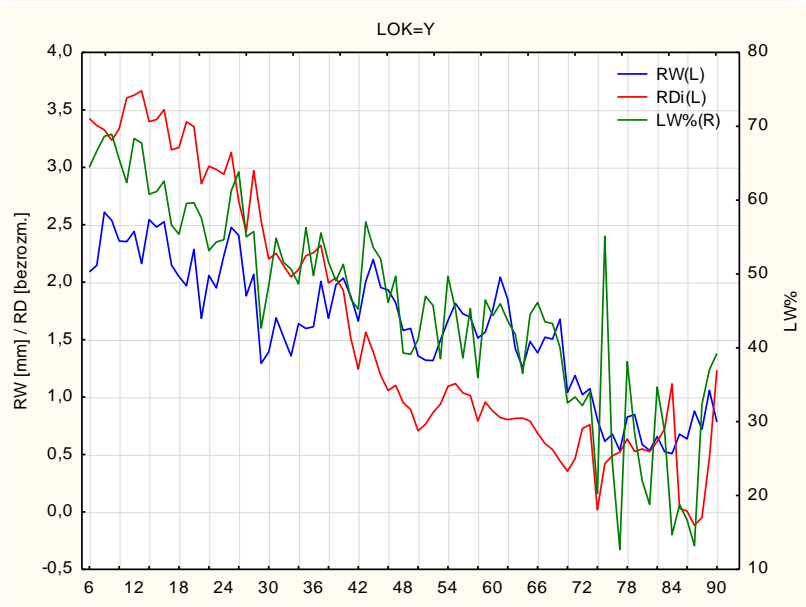
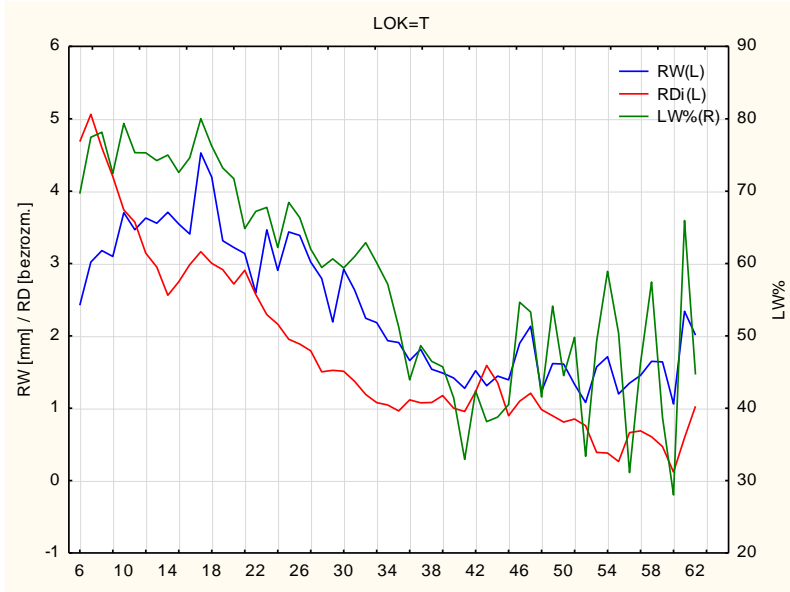


Příloha 5: Průběh šířek letokruhu, zastoupení letního dřeva a hustoty podle věku  
Srovnání jednotlivých lokalit

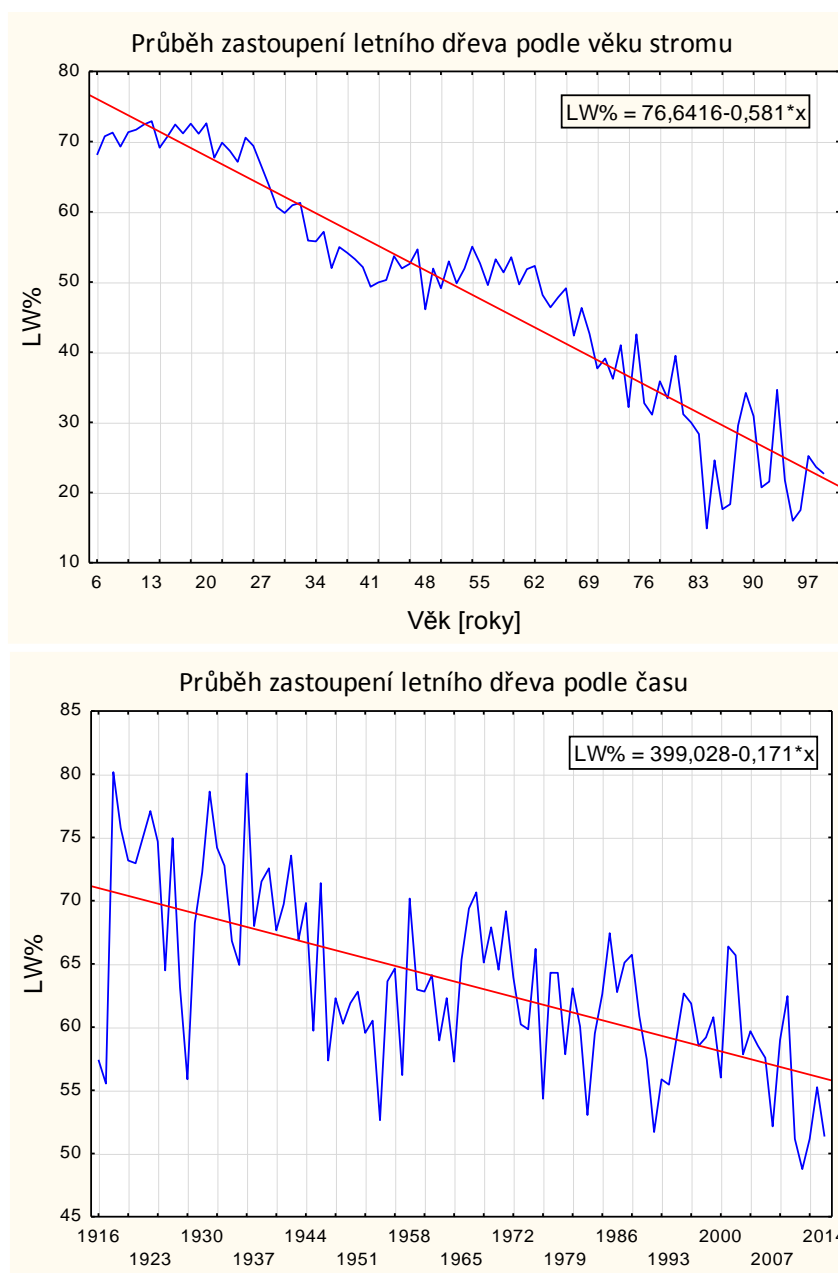
— RW(L)  
— RD<sub>i</sub>(L)  
— LW%(R)



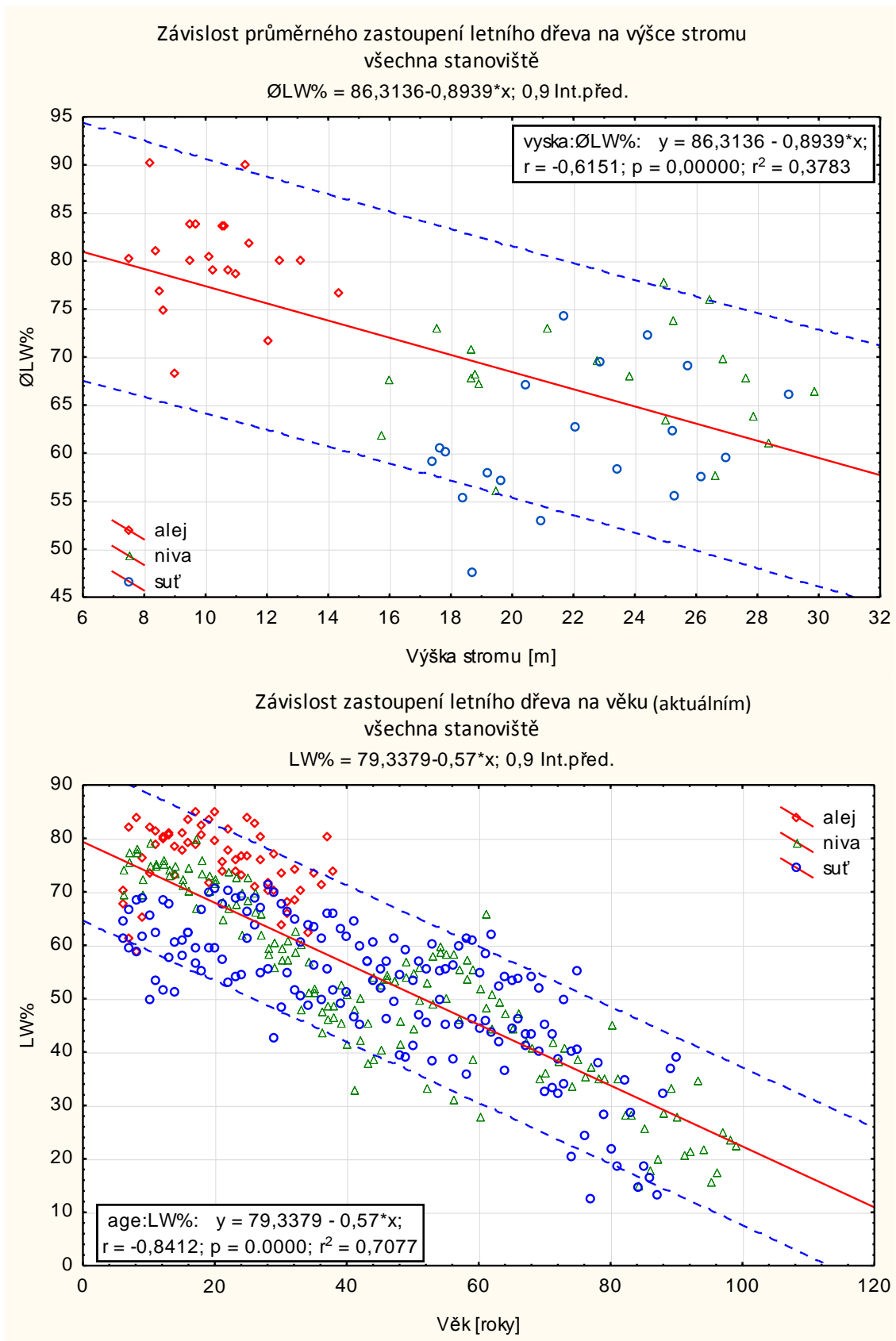
— RW(L)  
 — RDi(L)  
 — LW%(R)



Příloha 6: Grafické zhodnocení vlivu věku stromu a času na zastoupení letního dřeva  
Časový (klimatický) trend nebyl prokázán, přímka odráží opět vliv věku

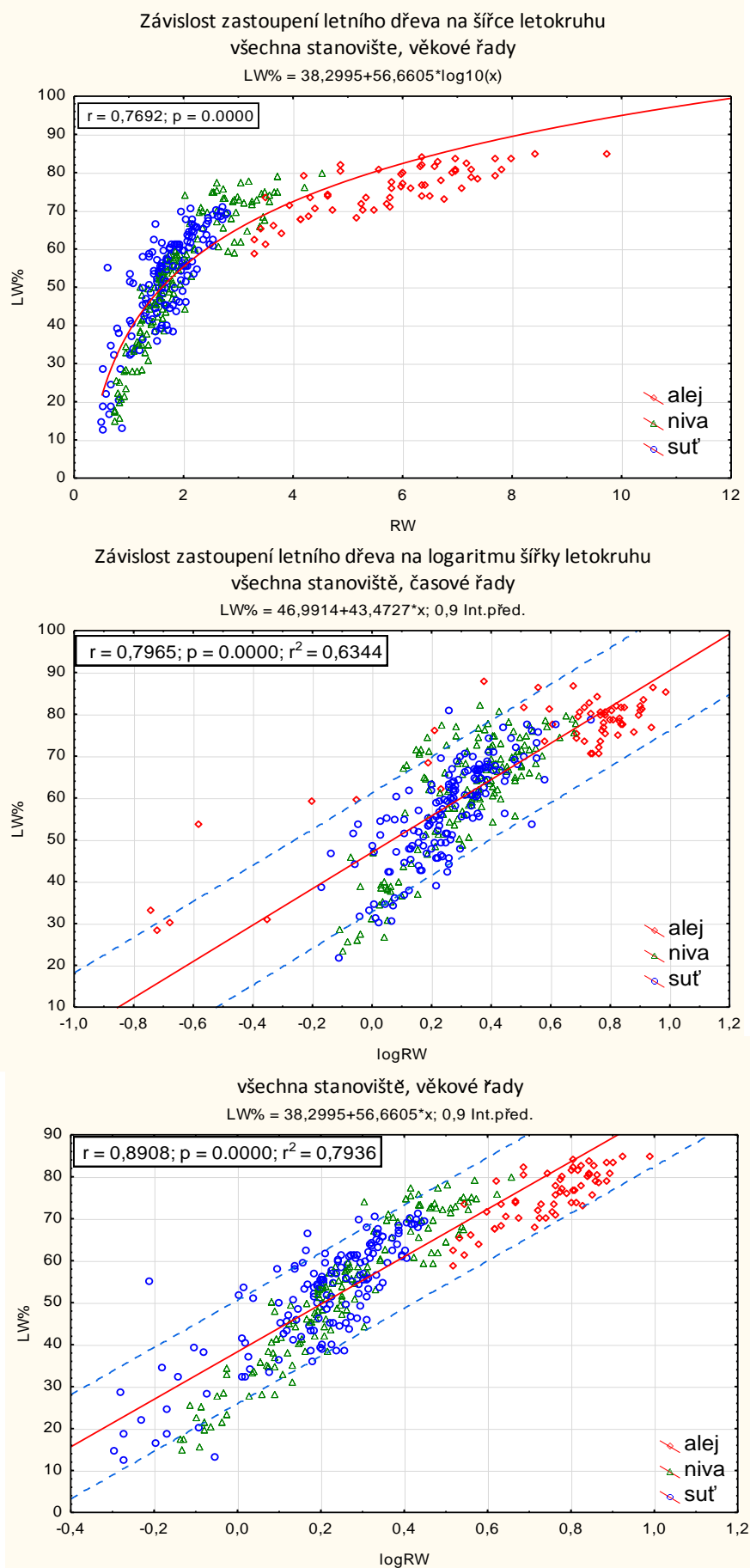


Příloha 7: Dva přístupy k testování faktorů ovlivňujících zastoupení letního dřeva:  
Na úrovni stromu a na úrovni letokruhů





Příloha 8: Závislost zastoupení letního dřeva na šířce letokruhu  
Srovnání věkových a časových řad



Příloha 9: Závislost hustoty letokruhu na zastoupení letního dřeva  
Efekt vyřazení dílčího souboru bez korelace na celkový soubor

Závislost hustoty letokruhu na zastoupení letního dřeva v něm  
Všechna stanoviště

